

Fig. 1

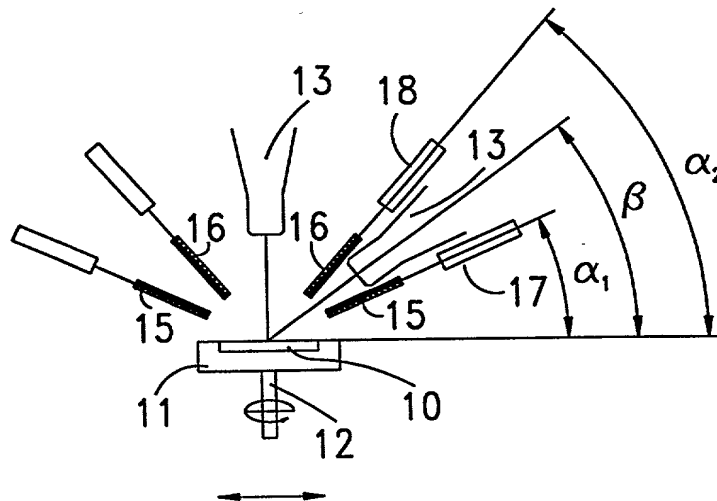


Fig. 2

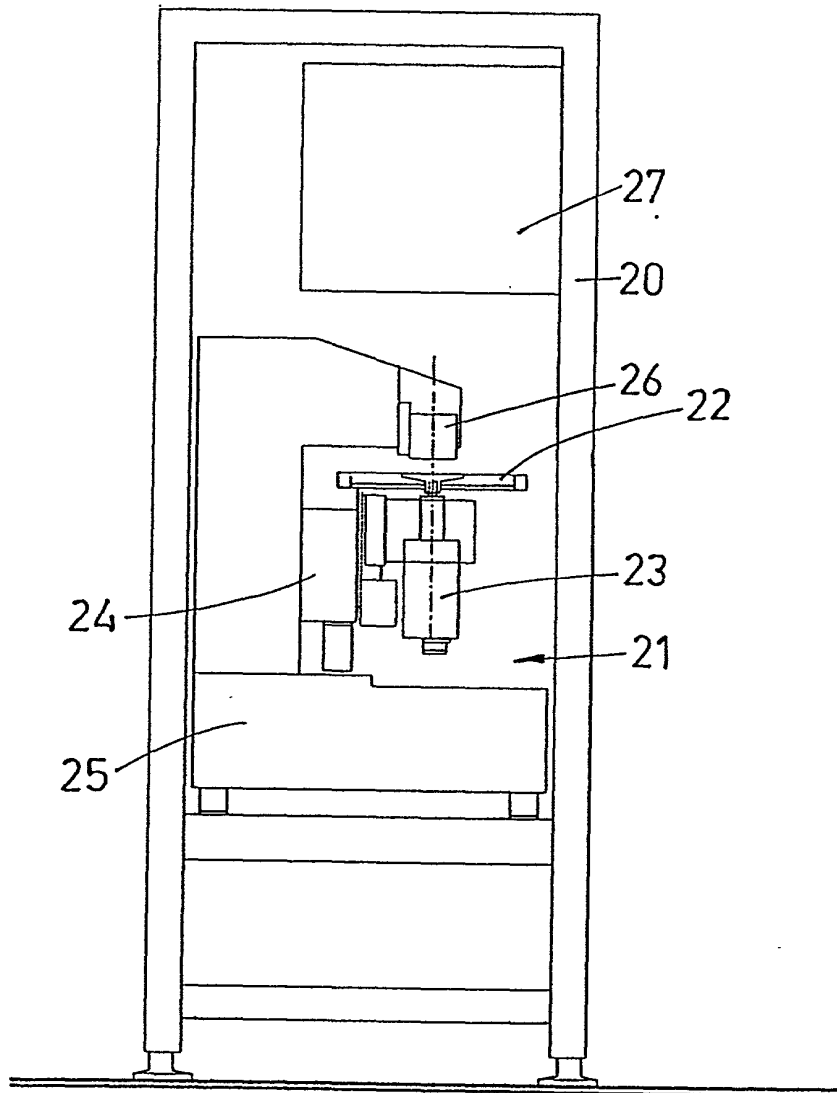


Fig. 3

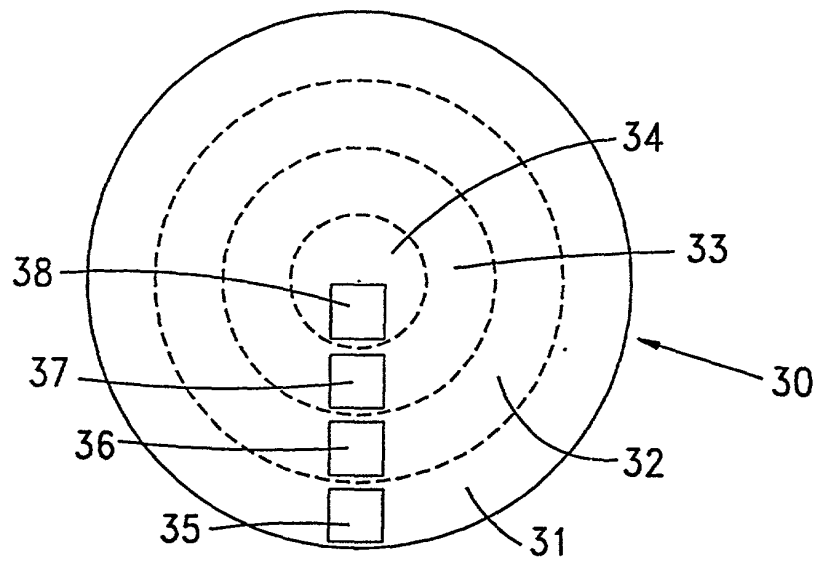


Fig. 4

1003347, 120604

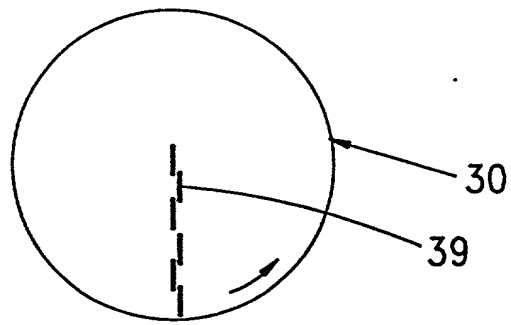
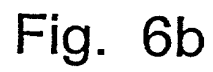
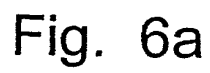


Fig. 5



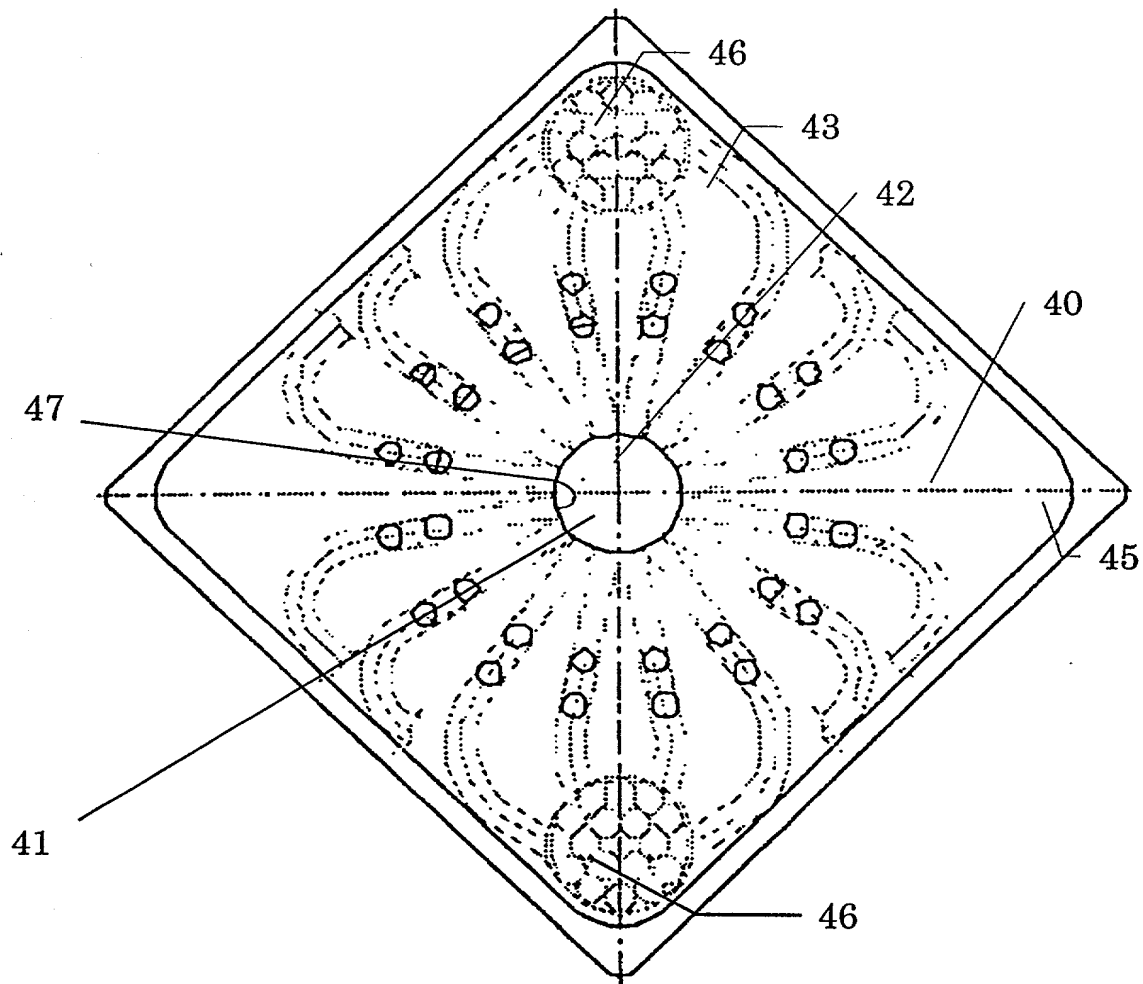


Fig. 7

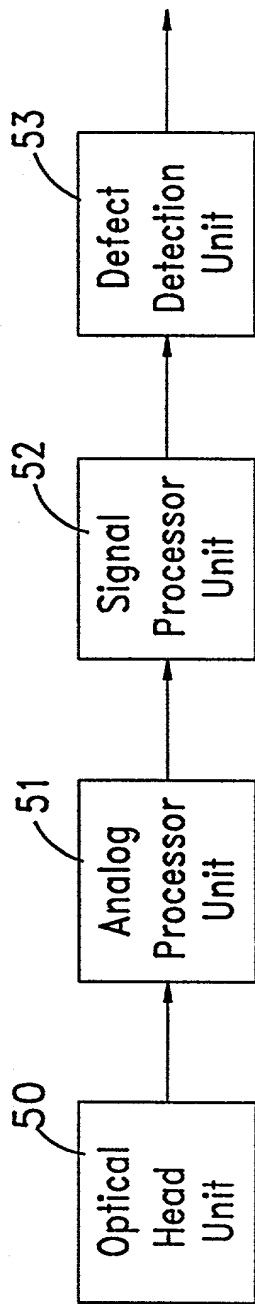


Fig. 8

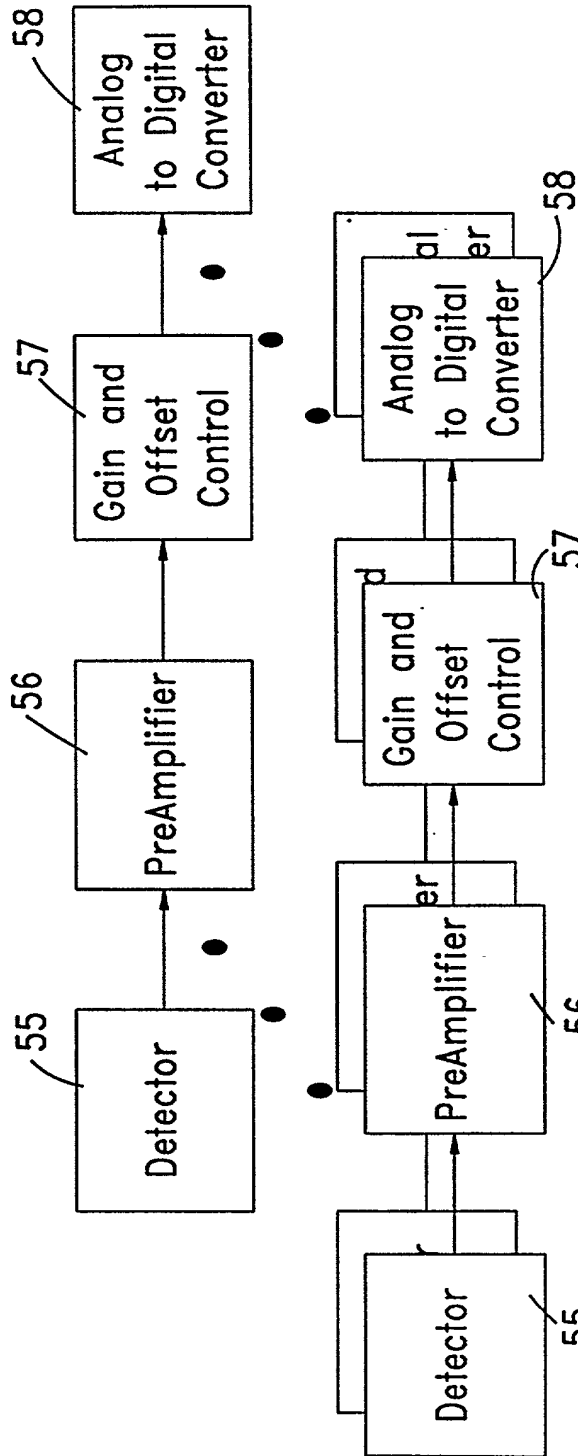


Fig. 9

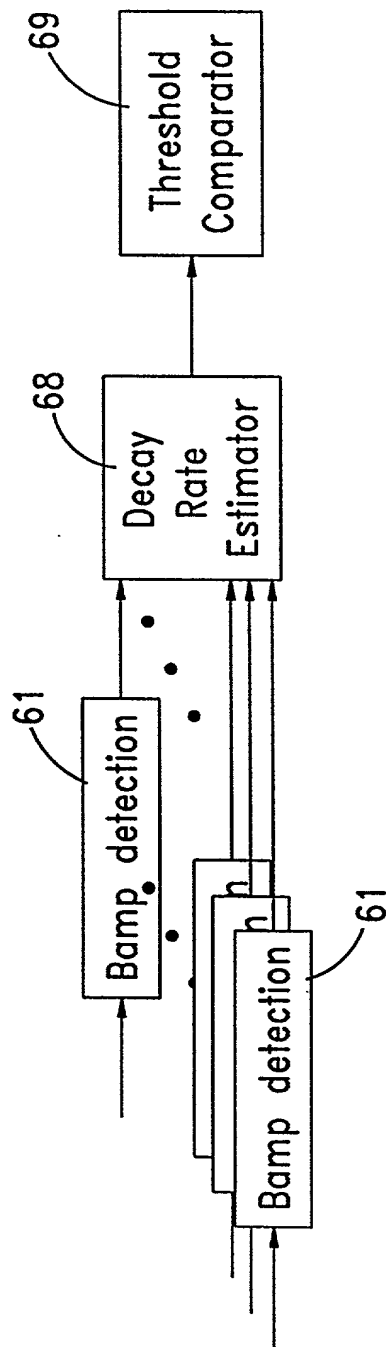


Fig. 10



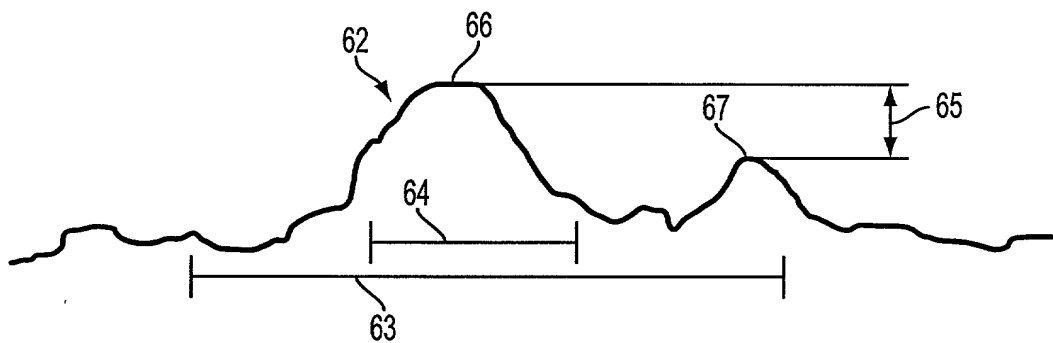


FIG. 11

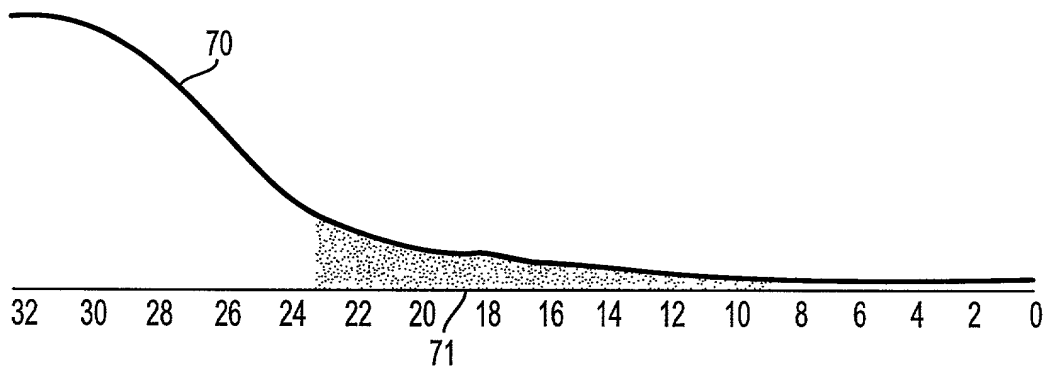


FIG. 12

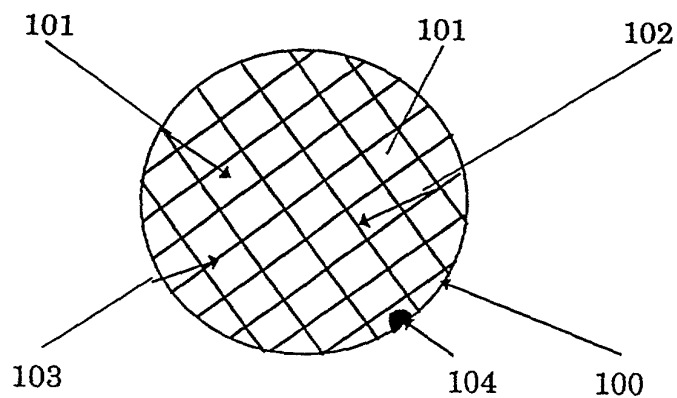


Fig. 13

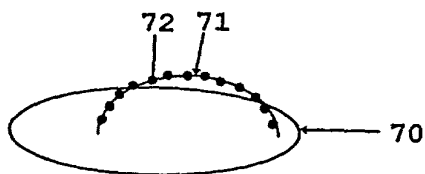


Fig. 14(a)

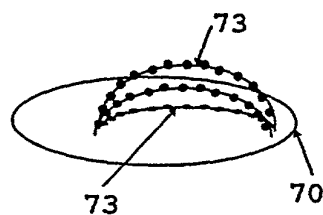


Fig. 14(b)

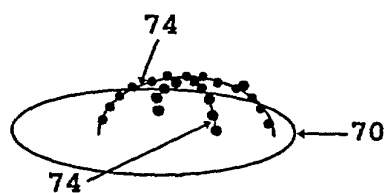


Fig. 14(c)

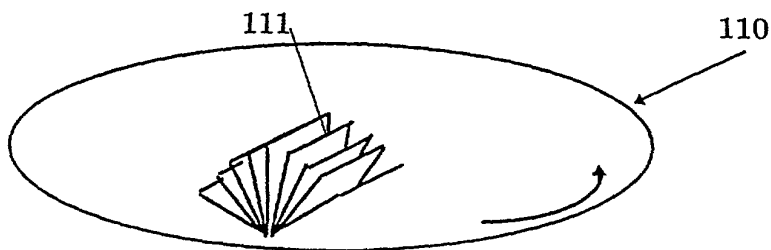


Fig. 15

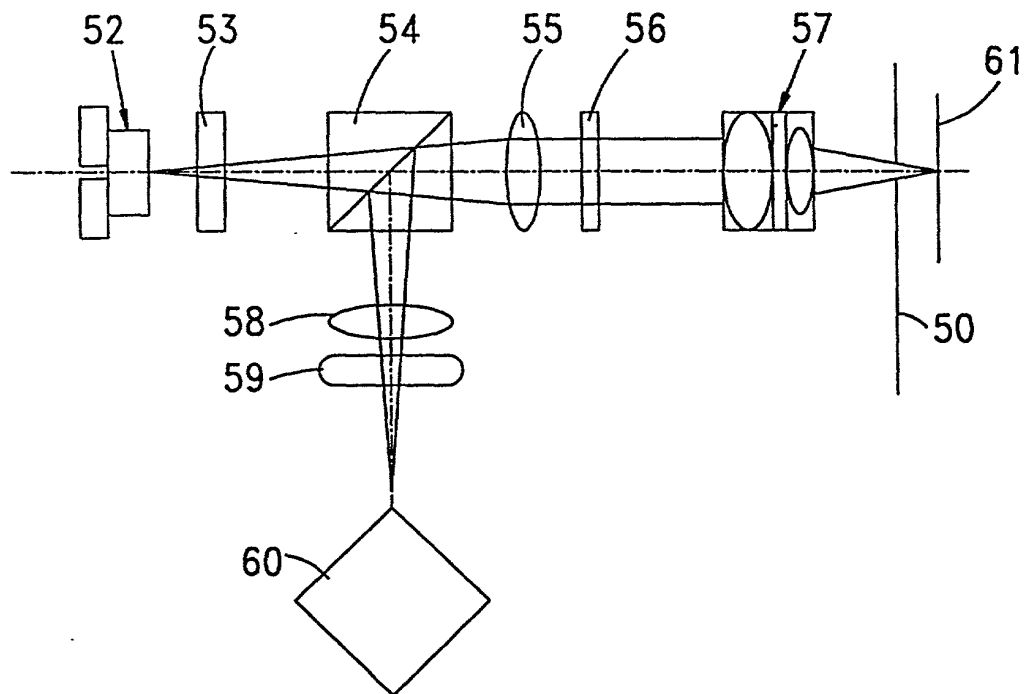


Fig. 16

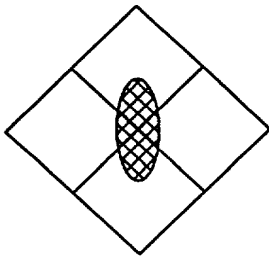


Fig. 17(a)

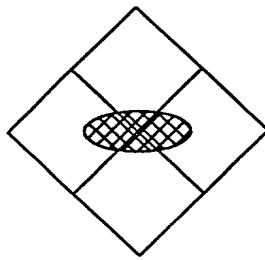


Fig. 17(b)

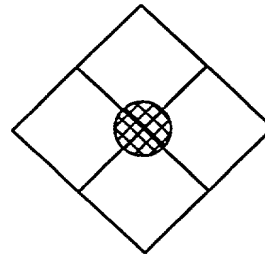
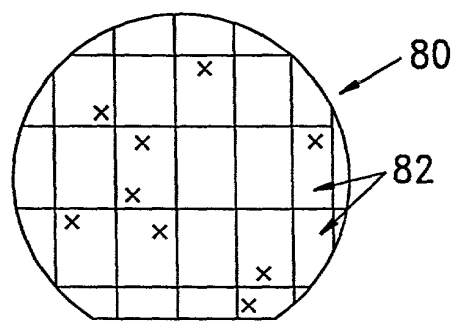


Fig. 17(c)



$$(r_i, \theta_i)$$



$$(x_i, y_i)$$



$$(x_{k,j}, y_{k,j})$$

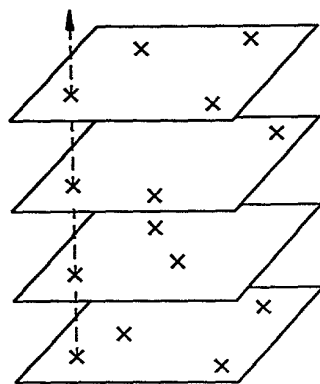


Fig. 18

10003347 120504